DOI:10.3969/j.issn.1005-202X.2018.07.021

生物力学与材料

仿生量子点脂质体纳米探针的合成

崔曼曼,潘炜伦,刘春辰,李博 南方医科大学南方医院检验科,广东广州510515

【摘 要】目的:合成仿生量子点脂质体纳米探针(PEG-LP-QDs),优化合成条件并初步探究PEG-LP-QDs的性质,为PEG-LP-QDs在体内示踪、肿瘤成像、多重检测等生物医学领域的应用奠定基础。 方法:采用薄膜分散法,以磷脂酰胆碱、聚乙二醇(PEG)-磷脂酰乙醇胺、胆固醇为膜材,包裹一定量的油溶性ZnCdSe/ZnS量子点(QDs)合成PEG-LP-QDs;通过透射电子显微镜(TEM)、纳米颗粒追踪技术(NTA)、荧光分光光度计鉴定并分析PEG-LP-QDs的形貌、粒径和荧光强度,进而优化合成温度及QDs数量。 结果:根据合成的LPs粒径与QDs的荧光强度变化,选取40℃为最佳合成温度;TEM和NTA结果证实PEG-LP-QDs合成成功,粒径集中分布于128 nm左右;且当加入10 μ L浓度为3 mg/mL的QDs时,PEG-LP-QDs的荧光强度达到最大值。 结论:成功合成新型PEG-LP-QDs,具有良好的生物相容性和独特的发光特性,其在生物医学领域中的应用价值有待进一步研究。

【关键词】纳米探针;脂质体;量子点;仿生膜

【中图分类号】R319;O657.3

【文献标志码】A

【文章编号】1005-202X(2018)07-0849-06

Synthesis of cell membrane biomimetic liposome-quantum dot nanoprobes

CUI Manman, PAN Weilun, LIU Chunchen, LI Bo

Department of Laboratory, Nanfang Hospital, Southern Medical University, Guangzhou 510515, China

Abstract: Objective To synthesize a biomimetic autofluorescence nanoprobe, polyethylene glycol-liposome-quantum dots (PEG-LP-QDs), optimize the synthesis conditions and preliminarily characterize their properties for laying the basis for further application of PEG-LP-QDs in biomedical fields, such as *in vivo* tracking, tumor detection and multiplex detection. Methods Oil-soluble fluorescent ZnCdSe/ZnS quantum dots were encapsulated by phosphatidylcholine, PEG-phosphatidyl ethanolamine and cholesterol through thin membrane dispersion method for synthesizing PEG-LP-QDs. Transmission electron microscope, nanoparticle tracking technology and fluorescence spectrophotometer detection methods were used to characterize the morphology, diameter size and fluorescence intensity of PEG-LP-QDs, thus further optimizing the synthesis temperature and QDs quantity. Results As the change of synthesis temperature, the results of LP size-changing and QDs fluorescence-decreasing implied that $40~\mathrm{C}$ was a desired temperature. The results of transmission electron microscope and nanoparticle tracking technology proved that PEG-LP-QDs were successfully synthesized. The average diameter size of PEG-LP-QDs was 128 nm. The fluorescence intensity of PEG-LP-QDs reached the maximum when $10~\mathrm{\mu}L~3~\mathrm{mg/mL}$ QDs were encapsulated. Conclusion A novel biomimetic autofluorescence nanoprobe, PEG-LP-QDs, is successfully synthesized, with good biocompatibility and unique luminescent properties. Further work is needed to investigate the application of biomimetic PEG-LP-QDs in biomedical research.

前 🗎

【收稿日期】2018-06-22

【基金项目】国家自然科学基金青年项目(81702100)

【作者简介】崔曼曼,主要研究方向:重要疾病标志物快速诊断生物传感 技术的应用基础研究,E-mail: 13265022193@qq.com

Keywords: nanoprobe; liposomes; quantum dots; biomimetic membrane

【通信作者】李博,医学硕士,讲师,主管技师,主要研究方向:重要疾病标志物快速诊断生物传感技术的应用基础研究,E-mail: nfyylibo2012@smu.edu.cn

近年来,荧光纳米探针在生物学上的应用越来越广泛[1],其大小为纳米级、表面易修饰、自发独特荧光,在体内示踪[2]、病原体检测[3]、肿瘤成像[4]、手术治疗[5]等方面具有潜在的应用价值。然而,体内网状内皮系统(Reticuloendothelial System, RES)的清除作用将大大缩短其在体内的循环时间,且一些纳米材料具有一定的细胞毒性,极大限制其在临床上的应用[6],因此急需研发出一种生物相容性较好的新型仿生纳米探针。有研究者[7]利用不同种类的细胞膜包

裹传统纳米探针制备出具有良好生物相容性和靶向 性的细胞膜仿生纳米探针,但细胞膜的来源有限且 制备复杂,难以实现大规模、高效率的生产。脂质体 (Liposomes, LPs),又称脂囊泡(Lipid Vesivle),具有 与细胞膜相似的磷脂双分子层结构[8],能够将亲水或 疏水性的物质包裹到其亲水核心或脂质双层中,已 广泛应用于药物运送^[9]。聚乙二醇(PEG)修饰磷脂 酰乙醇合成的脂质体为长循环脂质体,PEG一方面 增加LPs的亲水性,使其在人体内环境中稳定流动, 另一方面PEG具有良好的生物亲和性,能有效降低 RES的清除作用,延长其在体内的存在时间,保证大 部分LPs能够到达靶向部位发挥作用[10],因此PEG-LPs可成为新型仿生纳米探针的理想载体。目前已 有研究者将有机荧光染料与LPs结合制备出荧光脂 质体探针,应用于磷脂酶活性检测[11]、肿瘤成像及靶 向治疗[12]。量子点(Quantum Dots, QDs)是由 II—VI 族或III-V族元素组成的大小为1~10 nm的荧光纳 米颗粒[13],具有优于传统荧光材料的发光特性:激光 光谱宽、连续分布;发射光谱窄、对称分布;抗漂白性 强;发光稳定;有望弥补有机荧光染料和荧光蛋白质 生物标记、荧光猝灭等方面的不足[15]。但由于QDs 含有重金属元素,具有一定生物毒性,且其多保存于 有机溶剂中,难以溶入生物水相环境,大大限制了 QDs 的生物应用[16]。为解决这些问题,有研究者将 QDs包裹到LPs中制备出量子点脂质体纳米探针用 于核酸检测[17]和肿瘤诊疗[18-19]。

为了获得生物亲和性好和荧光性强的仿生纳米探针,本研究将PEG-LPs和QDs结合起来,通过薄膜分散法合成出新型PEG-LP-QDs,以期为PEG-LP-QDs在体内示踪、肿瘤成像、多重检测等生物医学领域的应用奠定基础。

1 仪器与试剂

1.1 实验材料

二硬脂酰-磷脂酰胆碱(DSPC)、二硬脂酰-磷脂酰乙醇胺-聚乙二醇-羧基(DSPE-PEG-COOH),购自aladdin公司;胆固醇,购自广州学友生物科技有限公司;油溶性量子点-525(ZnCdSe/ZnS-QDs-525),购自武汉珈源量子点技术开发有限公司,氯仿(分析纯),磷酸盐缓冲液(PBS, pH 7.4)。

1.2 实验仪器

Hitachi 透射电子显微镜(日立高新技术公司); NS300 纳米颗粒追踪分析仪(激发波长 405 nm)(上 海思百吉仪器系统有限公司);LS55 荧光分光光度计 (美国 PerKins Elmer 公司);ADVENTURER 电子天 平R64CN(0.000 1 mg); EYELA N-1100 旋转蒸发仪, EYELA SB-1200 恒温水箱锅(美国五洲东方科技发展有限公司); SHZ-D循环水式真空泵(巩义市予华仪器有限责任公司); 低温冷却循环泵(上海霄汉实业发展有限公司); SCIENTZ SB-5200 超声波清洗机(宁波新芝生物科技股份有限公司),; VM-02U涡旋搅拌仪(Slien Shake 公司); Gextruder-10ml脂质体挤出器(美国Genizer公司); WHATMAN Nuclepore 膜聚碳酸酯(孔径为800、200 nm)。

2 实验方法

2.1 QDs 处理条件的优化

使用氯仿对 3 mg/mL 的 QDs 进行稀释(200、300、600、1 200、3 000 倍),获得不同浓度的 QDs;在不同温度下(40、50、55 $^{\circ}$ C)对 QDs进行不同时间(0.5、1.0、1.5、2.0 h)温育,获得不同温度的 QDs。

2.2 LPs、PEG-LP-QDs的合成

参考文献[17]的合成方法,步骤如下:取24 μL 0.1 mol/L DSPC、24 μL 1.0 mmol/L DSPE-PEG-COOH、15 μL 50 mmol/L 胆固醇、不同体积(0、2.5、5、10、15、20、30 μL)的3 mg/mL QDs,溶解在3 mL的氯仿中,震荡5 min,使混合物充分混匀;将混合物倒入50 mL的圆底烧瓶中,用恒温水浴锅控制不同水浴温度(30、35、40、45、50、55、60 $^{\circ}$ C),将旋转蒸发仪的转数调至60 r/min,开始恒温减压、旋转蒸发,成膜后继续旋转蒸发10 min,保证氯仿全部挥发;加入3 mL PBS,将得到的脂质浊液在超声波清洗机中超声30 min后得到多室脂质体。将上述脂质体依次通过装有800、200 nm的聚碳酯纤维膜的脂质体挤出器挤压10次,得到单室脂质体,4 $^{\circ}$ C保存备用。

2.3 透射电子显微镜(Transmission Electron Microscope, TEM)观察 LPs、PEG-LP-ODs 的形貌

取适量LPs、PEG-LP-QDs滴于铜网上,用1%的磷钨酸负染色,自然干燥,在TEM下观察LPs、PEG-LP-QDs的形貌。

2.4 纳米颗粒追踪技术 (Nanoparticle Tracking technology, NTA)检测LPs、PEG-LP-QDs

取适量LPs、PEG-LP-QDs,进行NAT测量,参数设置如下:camera level 14,4 videos of 160 s。每个样本测量3次,计算平均粒径。

2.5 荧光分光光度计测量 QDs、LPs、PEG-LP-QDs 的 荧光光谱

取适量 QDs、LPs、PEG-LP-QDs加入到荧光比色 皿中,室温下检测其荧光强度并记录数据,每个样本 测量 3 次,计算平均荧光强度。荧光检测条件:扫速

700 nm/min,激发波长 450 nm,激发和发射狭缝宽度 10 nm.

3 结果与讨论

3.1 浓度及温度对 QDs 荧光强度的影响

图 1a 为 ZnCdSe/ZnS 量子点 ZnCdSe/ZnS-QDs 的吸收发射光谱图,从图中可以看出 QDs 的激光光谱宽连续分布;发射光谱窄对称分布,发射波长在518 nm左右。图 1b 表明随着稀释倍数的增加,QDs 荧光强度随之降低,但其发射波长(518 nm)没有发生改变,依据 QDs 的尺寸效应可以推测浓度改变不会改变 QDs 的粒径^[20];图 1c 表明 QDs 在一定的水浴温度下温育一段时间后,其荧光强度会降低,随着水浴温度的升高,荧光强度下降的幅度会增大。这与季文学等^[21]的研究发现相一致,说明高温会淬灭 QDs 的荧光,为后续制备 PEG-LP-QDs 选取最适温度提供一定参考。

3.2 不同合成温度下LPs 的粒径比较

图 2 为不同合成温度下 LPs 的 NTA 粒径比较图。结果表明,合成 LPs 时,水浴温度会影响 LPs 的粒径分布,随着温度升高到磷脂的相变温度, LPs 的粒径在不断增加,当温度过高时,会破坏脂质体膜的稳定性, LPs 的粒径发生减少。这也提示我们合成特定粒径的 LPs 需要选择特定的水浴温度。45 ℃时,合成的 LPs 的粒径较大,集中分布在139 nm 左右;40 ℃时,集中分布在107 nm 左右。

3.3 合成 LPs 的表征

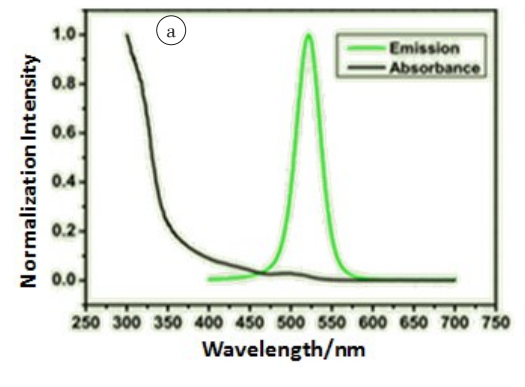
图 3 为 40 ℃条件下合成 LPs 的 TEM 结果。由 TEM 结果可知 LPs 为封闭的中空球形囊泡;由 NTA 结果(图 2b)可知 LPs 粒径集中分布在在 107 nm 左右。

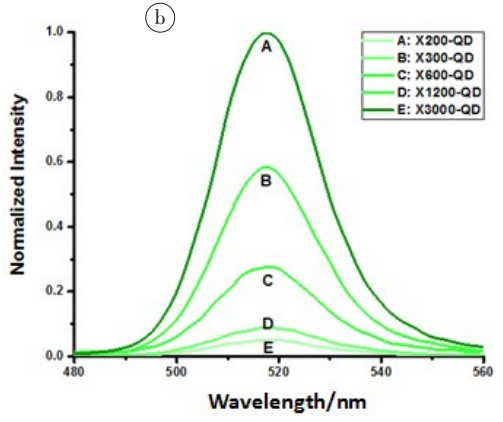
3.4 合成 PEG-LP-QDs 的表征

图 4a、b分别为 PEG-LP-QDs(水浴温度为 40 ℃)的 TEM 及 NTA 图, PEG-LP-QDs 粒径大小为 128 nm,相比 LPs(图 2b)粒径增加。本实验 QDs 为油溶性 ZnCdSe/ZnS QDs, 因此可推断 QDs 被包裹到疏水的双层磷脂外壳中。Zhou等[17]提出相同的 LPs 包裹 QDs 的模式, 如图 4c 所示, 本研究合成的 PEG-LP-QDs 荧光探针具有同样的包裹模式。

3.5 包裹不同数量 QDs 的 PEG-LP-QDs 荧光强度比较

图 5 中曲线 B~E显示包裹不同 QDs 数量的 PEG-LP-QDs 荧光光谱图,随着包裹 QDs 数量的增加,PEG-LP-QDs 的荧光强度呈现先升高后降低的趋势;比较图 5K、D,我们发现相同量(X 300)的 QDs 被 LPs包裹前(图 5K)、包裹后(图 5D)荧光强度发生降低;





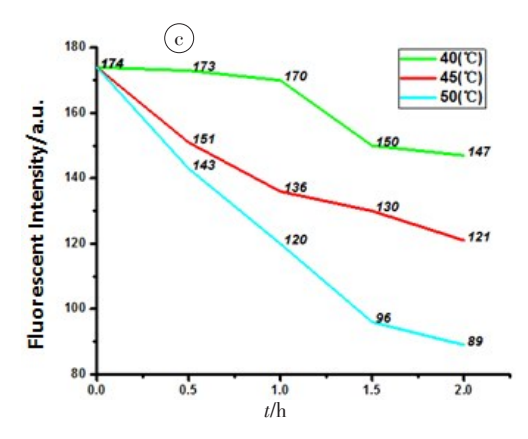


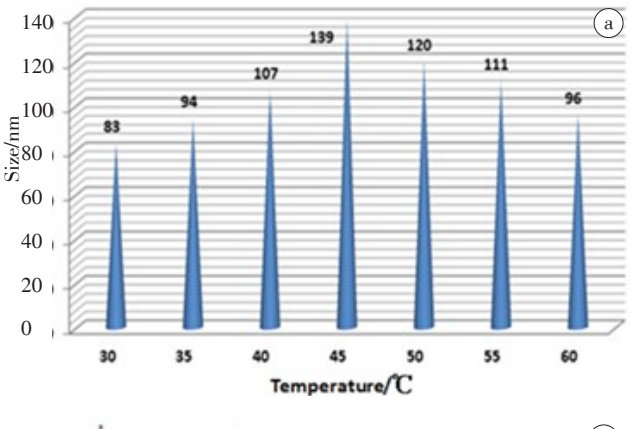
图1 不同浓度及温度对QDs荧光强度的影响

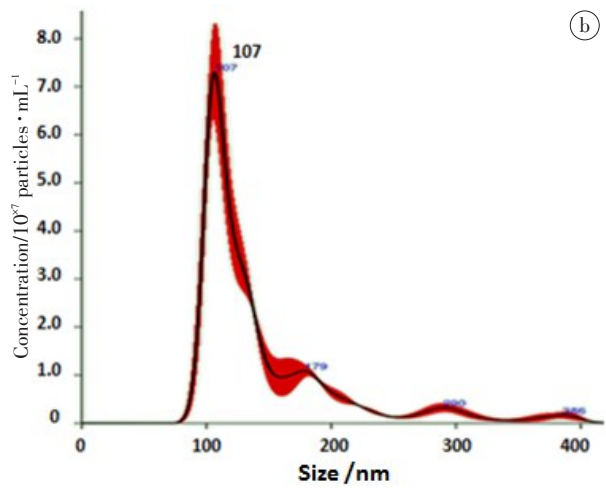
Fig.1 Effect of concentration and temperature on the fluorescence intensity of quantum dots (QDs)

a: UV-vis absorption (black lines) and photoluminescence emission spectra (green lines) of ZnCdSe/ZnS-QD; b: Fluorescence maps of various concentrations of ZnCdSe/ZnS-QDs, with an excitation wavelength of 450 nm; c: Fluorescence changing of ZnCdSe/ZnS-QDs in various temperatures

PEG-LP-QDs 破膜后释放的 QDs(图 5H)难以恢复到包裹前(图 5K)的荧光强度。

针对以上现象,我们提出以下推测:(1)LPs包裹QDs 具有一定的包封率,在达到最大包封率之前,LPs包裹QDs量随着QDs的增加而增加,当达到最大包封率后, LPs包裹QDs不仅不会增加,反而会减少。Batalla等[15]通过热透镜显微镜测量PEG-LP-QDs的包封率发现,当加入QDs的数量在一定范围时,其包封率在不断增加,最高可达36%,一旦超过这一范围,其包封率将大大降





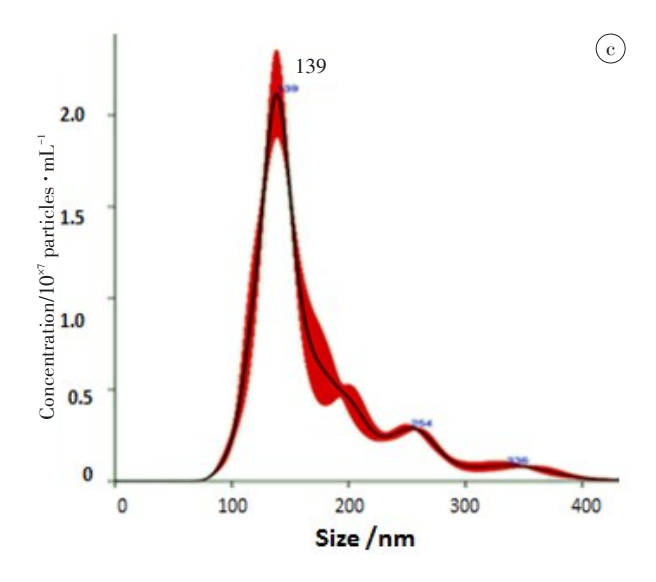


图2 不同合成温度下LPs 的粒径比较

Fig.2 Size of liposomes (LPs) at different synthesis temperatures a: Comparison of the average size measured by nanoparticle tracking

a: Comparison of the average size measured by nanoparticle tracking technology (NTA) among liposomes which were synthesized under various temperatures; b-c: NTA size distribution of LP which were synthesized under 40 $^{\circ}$ C, 45 $^{\circ}$ C

低;此外,季文学等[21]也发现随着LPs包裹的QDs数量的增加,其荧光强度呈现先升高后降低趋势。(2)磷脂分子对QDs具有荧光淬灭作用,冯力蕴等[22]发现QDs被包裹前后荧光强度有所降低,并推测磷脂的疏水区

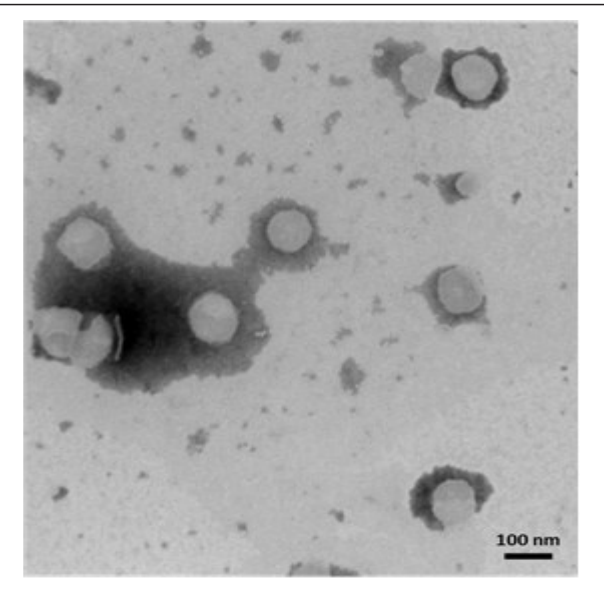


图 3 水浴温度 40℃合成的脂质体的 TEM 结果图 Fig.3 Transmission electron microscopy (TEM) results of LPS which were synthesized under 40℃

包裹QDs自组装成亲水区向外的磷脂囊泡,实现了QDs自油相到水相的相转移,这一过程中LPs淬灭部分QDs的荧光。即使破膜后QDs的荧光也无法恢复。(3)温度对QDs具有荧光淬灭作用。这势必影响PEG-LP-QDs作为荧光探针的应用,需要进一步研究如何提高LPs的包封率并减少磷脂和温度对QDs的淬灭作用来改善这一缺陷。

4 结 论

本研究将生物亲和性较高的PEG-LPs 和新型荧 光量子点 QDs 的优势结合起来, 成功合成新型 PEG-LP-QDs,并用TEM、NTA和荧光分光光度计等多台 仪器上鉴定并分析 PEG-LP-ODs 的形貌、粒径和荧光 强度。在此基础上,为制备出粒径均一且荧光强度 较高的PEG-LP-QDs,本研究探索水浴温度及QDs数 量对PEG-LP-QDs合成效率及荧光强度的影响,结果 证实合成温度在40℃时对QDs的荧光淬灭作用最 低, 当加入10 µL浓度为3 mg/mL的QDs时, PEG-LP-QDs的荧光强度达到最大值,粒径集中分布于128 nm左右。脂质体由磷脂分子在水相环境中自行组装 而成,由中空亲水核心和脂质双层外壳两部分组成, 利用这一仿生膜性结构可以实现对亲水或疏水性的 药物或纳米探针颗粒的包裹,进一步将其应用于生 物学领域中。量子点是荧光界的新宠儿,具有独特 的发光特性:激光光谱宽、连续分布;发射光谱窄、对 称分布;量子产率高;发光稳定,有望弥补传统有机 荧光染料和荧光蛋白质生物标记、荧光猝灭等方面 的不足。本研究成功合成的PEG-LP-QDs兼具仿生

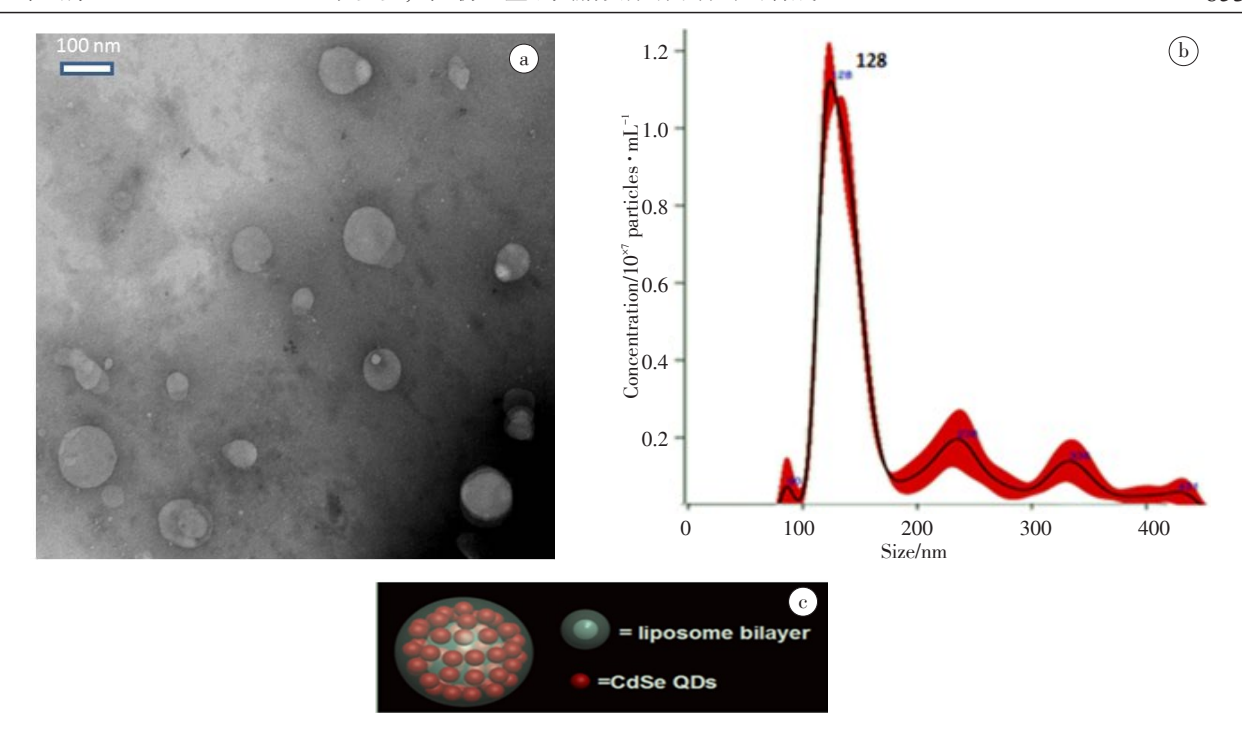


图 4 水浴温度 40 ℃合成的 PEG-LP-QDs 的 TEM 结果图(a)和 NTA(b)结果图和 LPS 包裹 QDs 的 3D 模式图(c) Fig 4 TEM results (a) and NTA results (b) of PEG-LP-QDs synthesized under 40℃, and three-dimensional simulation model (c) of QDs which were encapsulated by LP

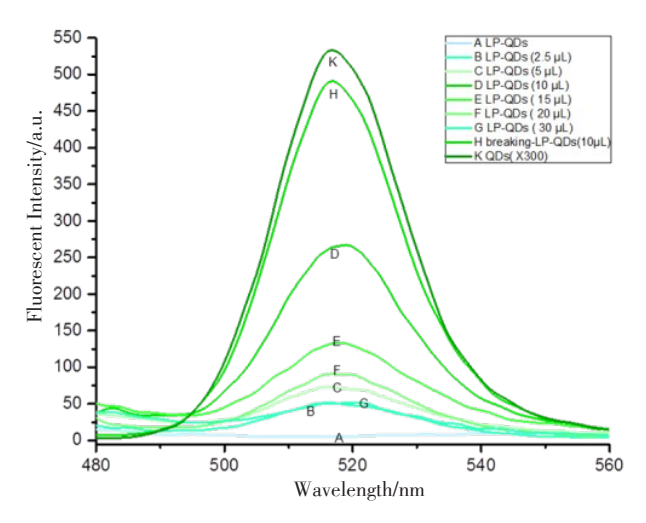


图 5 PEG-LP-QDs 荧光光谱图(激发波长 450 nm)
Fig.5 Fluorescence maps of PEG-LP-QDs, with an excitation
wavelength of 450nm

A: Fluorescence map of LP; B-G: Fluorescence maps of LP-QDs nanoprobes with 2.5, 5.0, 10.0, 15.0, 20.0, 30.0 μ L 3 mg/mL QDs; H: Fluorescence map of breaking LP-QD nanoprobes with 10 μ L 3 mg/mL QDs; K: Fluorescence map of 10 μ L 3 mg/mL QDs after being diluted 300 times

膜性结构及独特的荧光特征优势,原料便宜易得、制备流程简单、可大规模生产,具有广阔的潜在应用价值;且对PEG-LP-QDs的鉴定与分析为后续探索其在体内示踪、肿瘤成像、多重检测等生物医学领域的应用打下了良好的前期基础。

【参考文献】

- [1] JANG E S, LEE S Y, CHA E J, et al. Fluorescent dye labeled iron oxide/silica core/shell nanoparticle as a multimodal imaging probe [J]. Pharm Res, 2014, 31(12): 3371-3378.
- [2] WU X, SUN S, WANG Y, et al. A fluorescent carbon-dots-based mitochondria-targetable nanoprobe for peroxynitrite sensing in living cells[J]. Biosens Bioelectron, 2017, 90: 501-507.
- [3] WAN Y, WANG P, SU Y, et al. Nanoprobe-initiated enzymatic polymerization for highly sensitive electrochemical DNA detection[J]. ACS Appl Mater Interfaces, 2015, 7(46): 25618-25623.
- [4] ANSEN S N, POSPISILOVA A, EICHLER T W, et al. A novel nanoprobe for multimodal imaging is effectively incorporated into human melanoma metastatic cell lines[J]. Int J Mol Sci, 2015, 16(9): 21658-21680.
- [5] YUE Q, GAO X, YU Y, et al. An EGFRvIII targeted dual-modal gold nanoprobe for imaging-guided brain tumor surgery [J]. Nanoscale, 2017, 9(23): 7930-7940.
- [6] KE J H, LIN J J, CAREY J R, et al. A specific tumor-targeting magnetofluorescent nanoprobe for dual-modality molecular imaging [J]. Biomaterials, 2010, 31(7): 1707-1715.
- [7] 乔斌, 邓黎明, 王志刚. 细胞膜仿生纳米探针在肿瘤靶向治疗中的研究进展[J]. 重庆医科大学学报, 2018, 43(5): 1-4.

 QIAO B, DENG L M, WANG Z G. Research progress of cell membrane biomimetic nanomaterial in tumor targeted therapy [J].

 Journal of Chongqing Medical University, 2018, 43(5): 1-4.
- [8] BANGHAM A D, STANDISH M M, WATKIN J C. Diffusion of univalent ions across the lamellae of swollen phospholipids [J]. J Mol Biol, 1965, 13(1): 238-252.
- [9] ELHISSI A. Liposomes for pulmonary drug delivery: the role of formulation and inhalation device design[J]. Curr Pharm Des, 2017, 23(3): 362-372.
- [10] LEE J S, HWANG S Y, LEE E K. Imaging-based analysis of liposome

- internalization to macrophage cells: effects of liposome size and surface modification with PEG moiety [J]. Colloids Surf B Biointerface, 2015, 136: 786-790.
- [11] 谷巧荣, 艾俊杰, 张倩云, 等. 脂质体荧光探针检测磷脂酶C的活性 [J]. 分析化学, 2017, 45(9): 1278-1283.

 GU Q R, AI J J, ZHANG Q Y, et al. Fluorescence assay for phospholipase C activity using liposome probes[J]. Chinese Journal of Analytical Chemistry, 2017, 45(9): 1278-1283.
- [12] GUAN T, SHANG W, LI H, et al. From detection to resection: photoacoustic tomography and surgery guidance with indocyanine green loaded gold nanorod @ liposome core-shell nanoparticles in liver cancer[J]. Bioconjug Chem, 2017, 28(4): 1221-1228.
- [13] MICHALET X, PINAUD F F, BENTOLILA L A, et al. Quantum dots for live cells, *in vivo* imaging, and diagnostics[J]. Science, 2005, 307 (5709): 538-544.
- [14] ABDEL-MOTTALEB M M, BEDUNEAU A, PELLEQUER Y, et al. Stability of fluorescent labels in PLGA polymeric nanoparticles: quantum dots *versus* organic dyes[J]. Int J Pharm, 2015, 494(1): 471-478
- [15] BATALLA J, CABRERA H, SAN M E, et al. Encapsulation efficiency of CdSe/ZnS quantum dots by liposomes determined by thermal lens microscopy[J]. Biomed Opt Express, 2015, 6(10): 3898-3906.
- [16] WANG M, WANG J, SUN H, et al. Time-dependent toxicity of cadmium telluride quantum dots on liver and kidneys in mice: histopathological changes with elevated free cadmium ions and hydroxyl radicals[J]. Int J Nanomedicine, 2016, 11: 2319-2328.
- [17] ZHOU J, WANG Q X, ZHANG C Y. Liposome-quantum

- dot complexes enable multiplexed detection of attomolar DNAs without target amplification [J]. J Am Chem Soc, 2013, 135(6): 2056-2059.
- [18] MATOS A L, PEREIRA G, CABRAL F P, et al. Delivery of cationic quantum dots using fusogenic liposomes in living cells [J]. J Photochem Photobiol B, 2017, 171: 43-49.
- [19] XU H L, YAM J J, ZHUGE D L, et al. Glioma-targeted delivery of a theranostic liposome integrated with quantum dots, superparamagnetic iron oxide, and cilengitide for dual-imaging guiding cancer surgery[J]. Adv Healthc Mater, 2018, 7(9): e1701130.
- [20] 胡珺, 杨畅, 陈思颖, 等. 叶酸偶联荧光量子点脂质体纳米探针的合成[J]. 贵州医科大学学报, 2017, 42(1): 45-51.
 - HU J, YANG C, CHEN S Y, et al. Synthesis of folate-conjugated quantum dots liposome nanoprobes[J]. Journal of Guizhou Medical University, 2017, 42(1): 45-51.
- [21] 季文学, 张纪梅, 宋秀云, 等. 脂质体包裹的 CdTe 复合量子点的合成[J]. 天津工业大学学报, 2007, 26(3): 49-51.

 LI W X, ZHANG J M, SONG X Y, et al. Synthesis of CdTe composite quantum dots encapsualed by liposome [J]. Journal of Tianjin Polytechnic University, 2007, 26(3): 49-51.
- [22] 冯力蕴, 孔祥贵. 复合荧光 CdSe量子点-脂质体的制备与表征[J]. 发光学报, 2007, 28(9): 417-420.
 - FENG L Y, KONG X G. Preparation and characterization of fluorescence CdSe-liposome compound [J]. Chinese Journal of Luminescence, 2007, 28(9): 417-420.

(编辑:薛泽玲)